

Héritabilité

Figure 1: distribution gaussienne

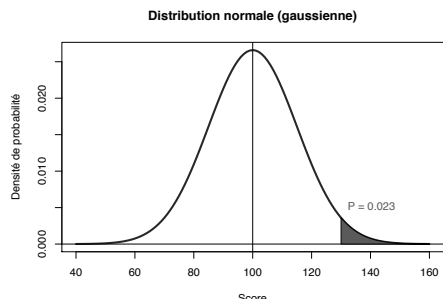


Figure 2: corrélations (illustrées par des tirages de nombres aléatoires)

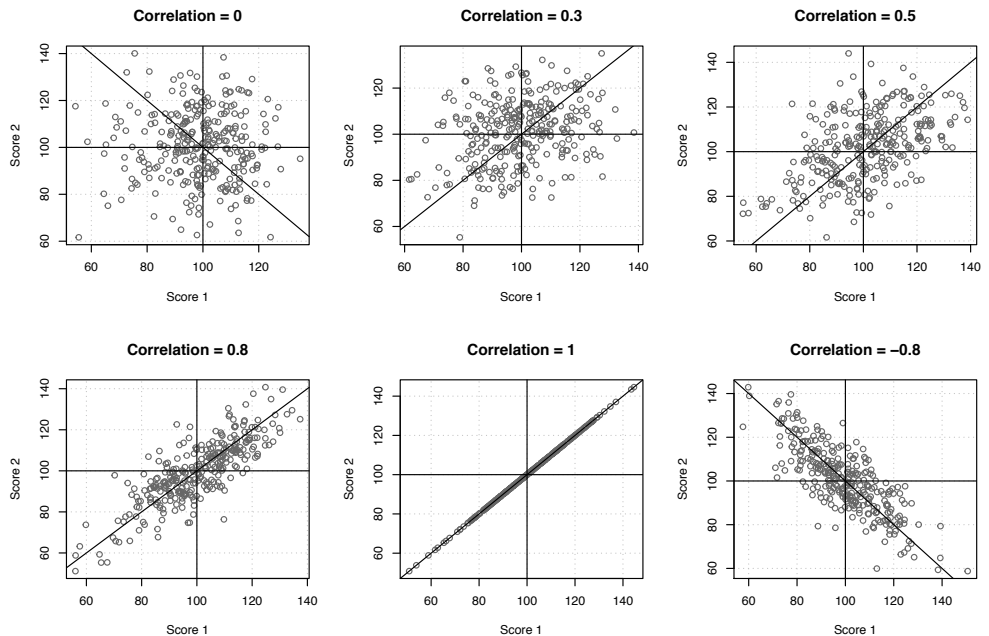
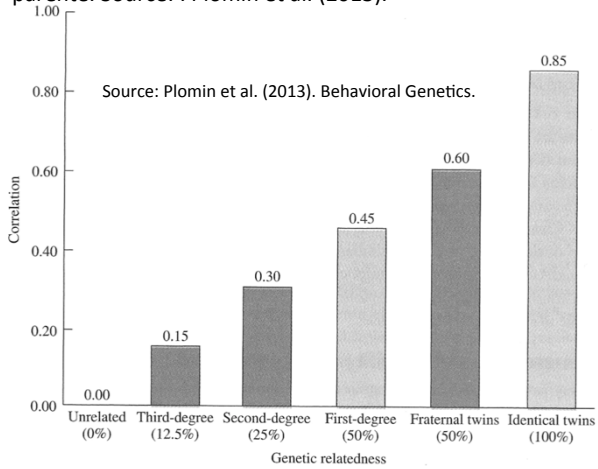


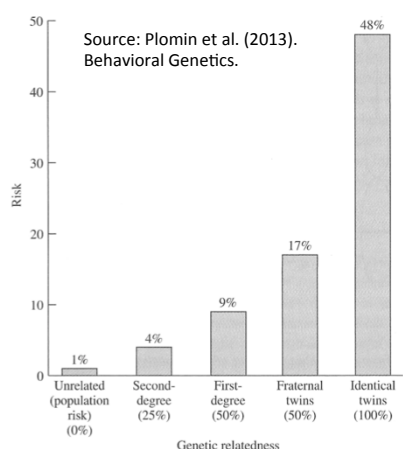
Figure 3: étude de famille pour la capacité cognitive générale. Les nombres indiquent la corrélation entre *facteurs g* mesurés sur des paires de personnes liées par différents degrés de parenté. Source: : Plomin et al. (2013).



• FIGURE 3.7 Resemblance for general cognitive ability increases with genetic relatedness. (Data adapted from Bouchard & McGue, 1981, as modified by Loehlin, 1989.)

Figure 5: étude de familles pour les risques de schizophrénie.

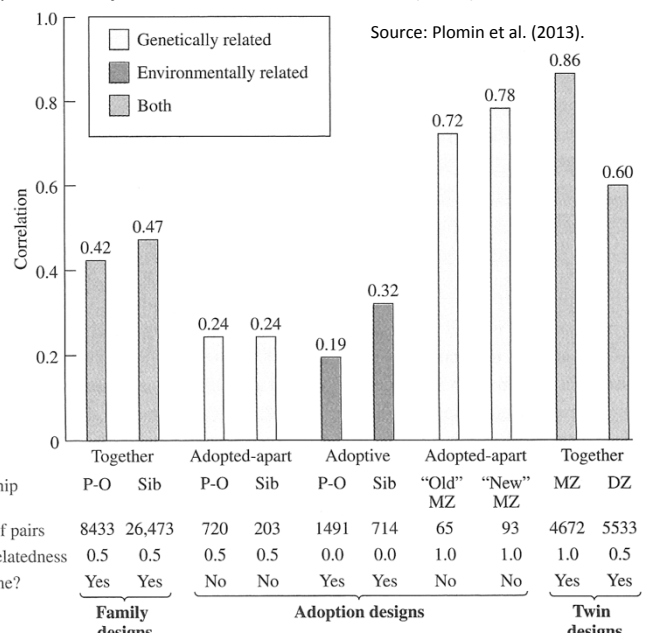
Les nombres indiquent les taux de concordance entre personnes liées par différents degrés de parenté. Source: Plomin et al. (2013).



• FIGURE 3.6 Risk for schizophrenia increases with genetic relatedness. (Data adapted from Gottesman, 1991.)

Figure 4: héritabilité des capacités cognitives générales.

La figure résume les résultats d'une série d'études de famille, d'adoption et de jumeaux. Source: Plomin et al. (2013).



• FIGURE 12.6 Average IQ correlations for family, adoption, and twin designs. Based on reviews by Bouchard and McGue (1981), as amended by Loehlin (1989). "New" data sources for adopted-apart MZ twins include Bouchard et al. (1990) and Pedersen, McClearn, et al. (1992).

Figure 6: prévalence du trouble du déficit d'attention et d'hyperactivité

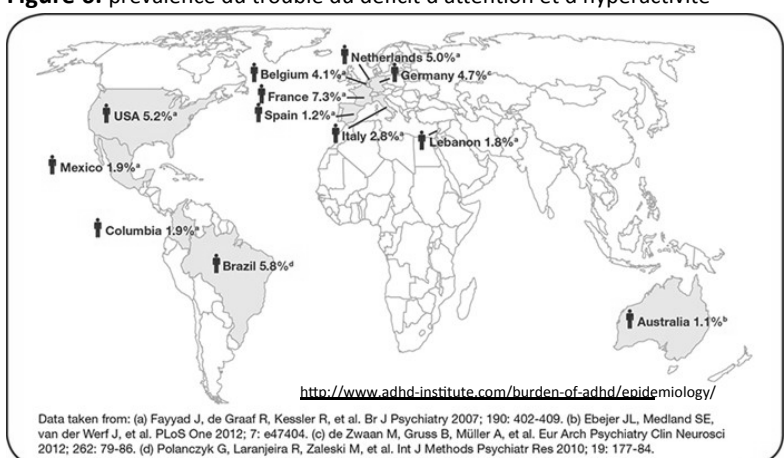


Tableau: comparaison des études de corrélation de QI chez des jumeaux. Source: Roubertoux (2004).

Auteurs	Mesure de l'intelligence	Corrélation entre monozygotes élevés ensemble	Corrélation entre monozygotes élevés séparément	Corrélation entre dizygotes élevés séparément
Newman <i>et al.</i> , 1937	Binet-Simon	0,91 (50)	0,63 (19)	
	Otis	0,92 (50)	0,73 (19)	
Shields, 1962	Mill Hill	0,72 (44)	0,76 (38-44)	
	Dominos	0,74 (44)	0,74 (38-44)	
	Score composite	0,76 (44)	0,76 (38-44)	
Juel-Nielsen 1965	Wisc	non réportée	0,68 (12)	
Bouchard 1983 ; Bouchard <i>et al.</i> (1990)				
	Raven	0,66 (71)	0,58 (29)	0,19 (42)
	Mill Hill	0,74 (71)	0,78 (29)	0,37 (42)
	QI	0,78 (71)	0,71 (29)	0,14 (42)

Tableau VIII.1 : Degré de ressemblance entre jumeaux, monozygotes élevés ensemble ou séparément et entre jumeaux dizygotes élevés séparément. Les nombres de paires de jumeaux sont indiqués entre parenthèses. À titre indicatif, la valeur médiane de la ressemblance pour les mesures d'intelligence donnant lieu à un QI, chez les dizygotes élevés ensemble, est de 0,58. Les épreuves de Binet-Simon, Otis, la Wechsler Intelligence Scale – WISC – sont des échelles composées ; les autres sont davantage centrées sur les capacités de raisonnement abstrait.

Figure 7: catégories d'épreuves du test WAIS (Wechsler Adult Intelligence Scale). Source: wikipedia.

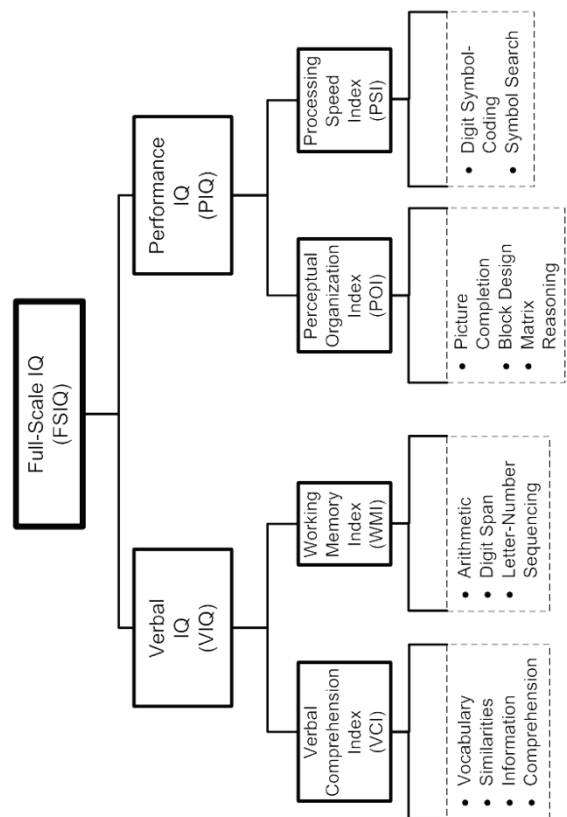


Tableau 2: comparaison des études de corrélation pour différents traits de personnalité ou psychopathologies. Source: Zuckerman. 2003. La troisième révolution du cerveau. Psychobiologie de la personnalité. Payot.

Caractère	Auteurs	Année	Corrélation intra-classes				% de variance			h de Falcon 2(VS-FS)	h de Falcon 2(VE-FE)
			VS	VE	FS	FE	h	ep	enp		
Extraversion											
Shields	1962	0.61	0.42	-	0.17		-	-	-		0.5
Pederson	1988	0.3	0.54	0.04	0.06		41	7	52	0.52	0.96
Telegen	1988	0.34	0.63	-0.07	0.18		40	22	38	0.82	0.9
Névrotisme											
Newman	1937	0.58	0.56	-	0.37		-	-	-		0.38
Shields	1962	0.53	0.38	-	0.11		-	-	-		0.54
Pederson	1988	0.25	0.41	0.28	0.24		31	10	58	-0.06	0.34
Tellegen	1988	0.61	0.54	0.29	0.41		55	2	43	0.64	0.26
P-RSN											
Impulsivité											
Pederson	1988	0.4	0.45	0.15	0.09		45	0	55	0.5	0.72
Evitement de la monotonie											
Pederson	1988	0.2	0.26	0.14	0.16		23	5	72	0.12	0.2
Contrainte (P -)											
Tellegen	1988	0.57	0.58	0.04	0.25		58	0	42	1.06	0.66